



TITLE:

あふれのない浮動小数点表示について (数値計算のアルゴリズムの研究)

AUTHOR(S):

伊理, 正夫; 松井, 正一

CITATION:

伊理, 正夫 ...[et al]. あふれのない浮動小数点表示について (数値計算のアルゴリズムの研究). 数理解析研究所講究録 1980, 382: 112-134

ISSUE DATE:

1980-04

URL:

<http://hdl.handle.net/2433/104830>

RIGHT:

あふれのない浮動小数点表示について

東京大学 工学部 伊理 正夫

松井 正一

要旨

従来の浮動小数点表現方式で問題となっていた指数部あふれを解決する新しい表現方式の提案を行う。新表現方式は、指数部と仮数部との境界を動的に変化させることにより、指数部あふれを防ぐとともに、普通の大きさの数に対してはより高い精度を確保することができ、また普通の数ではない数をいくつか考えることにより、“数の体系”を閉じたものとする、新しい表現方式が効果を発揮するよう計算例を示す。

1. はじめに

数値計算に計算機を使う際には、実数(の近似値)を一語中
 "浮動小数点"の形で表すのが慣習になっている。初期の計算機で
 は"固定小数点"が用いられたが、"桁取り(スケーリング)"の繁雑
 さのために、有効桁数の少々(指数部に割当てられ)の犠牲を払
 っても任意の大きさの数が同じ相対精度で取扱える浮動小数
 点方式に完全に軍配が上がった。浮動小数点方式にも多くの変種
 があるが、最近では、IBM型の16進、仮数部絶対値、指数部7ビット
 "げたばき"式の型が優勢であり、経験が積まれしに従って、このIBM
 型に対する多くの不満が数値計算家の間をたじろいでいる、

最も切実な問題の一つに"あふれ(overflow, underflow)"があり、
 一松の解説[6]にもこのような問題の指摘がある。一般に、Hamming[4]
 も述べているように、計算が進むにつれて扱われる数の指数部の絶対
 値の範囲は広がるので、扱える数の範囲がたとえば $(16^{-26}, 16^{26})$
 $\approx (10^{-77}, 10^{77})$ のようだと、予め限られていると、それからはみ出す数
 が生じ易い。それを防ぐために計算途中で数の大きさを常に検査
 するのであれば「スケーリングの心配無用」という浮動小数点方式の最
 大の特長が失われてしまう。一松[6]に紹介されているKahanの提
 案は一言でいえば、(i)一語中で指数部に割当てられ部分を増大さ
 せ、(ii)"非数"を導入してあふれた後の面倒をもみこむとある、

その他、記数法の底(=2, 4, 8, 16等)の良し悪しについてこの議論[1], [2] (およびそれらの参考文献), 通常のものとは異なる表示体系の提案[3], [4]等々, 浮動小数点方式の本質的な問題への関心が最近高まりつつあるように見える。

可変語長にすれば問題はすべて解決するという議論もあるが[5], 非常に特殊な目的を除けば, 通常の数値計算では一つの数値の担うべき“情報量”には当然限度があり, 計算時間, 記憶場所の経済性の点から, これは考察の外としてよいであろう。

本論文では, 「固定語長内で実数を近似的に表現する」という大前提のもとで, 一つの理想的な方式を提案し, その特徴を調べ, それを具体的に実現し, それによる数値計算例を示す。

本論文で提案する方式の基本的な考え方を形式ばらずに述べると次の2点となる。(i)与えられた一語中に数を表現する際, より重要な情報から順に必要なビットを割当てる(指数部に必要なだけのビット数をまず確保した後, 残りを仮数部に用いる; 指数部だけでも入り切らなくなったら, 指数部を更に浮動小数点表示にして, “指数部の指数部”に優先的に割当てを繰り返す)。以下同様のことを繰り返す。(ii)数値演算の結果が常にプログラムで取扱い可能な形であり(あふれたよりの割込みが生じたりしない)ために導入すべき必要にして十分な“非数”をも含んだ“数の体系”を確定させる。(この際四則演算に関する封鎖性を重視する。)

(i)については Morris [10] に類似の着想が認められ、また Knuth [9] の演習問題 (第4章 2.1 節の 17番) にそのような方向への示唆があるが、本論文ではその可能性を徹底的に追求してみる。(ii)は(i)とほとんど独立を考えたので、Kahan 等が部分的に論じているが [8]、いくつかの妥当と考えられる前提のもとで必然的に一つの体系が確定されることを指摘する。

2. 基本的な考え方

2.1. 指数部可変長方式とその一般化

実数 x の浮動小数点表現は、底を β ($=2, 4, 10, 16$ 等) とするとき、
 $\langle \text{レベル } 0 \rangle \quad x = (-1)^{\alpha_0} F \times \beta^{(-1)^{\alpha_1} E_1} \quad (2.1)$

の形をとる。 α_0, α_1 は 0 あるいは 1、 E_1 は非負整数で、 F は正規化条件

$$1 > F \geq 1/\beta \quad (2.2)$$

あるいは

$$\beta > F \geq 1 \quad (2.3)$$

を満たす実数である。(通常は前者が多く用いられているが、ここでは §2.3 で述べる要求をも考え、後者を採用する。) $x \neq 0$ に対して α_0, E_1, F は ($E_1 \neq 0$ 存しないも) 一意に定まる。固定語長の一語中に E_1 と F を表現する際、いくらかの近似誤差が不可避であるとするれば、その誤差は F のみに負わせるのが明らかなように。(正規化

条件の範囲で F が変化しても E_1 が ± 1 変化するよりも, α と β の影響は小さいから.)

$|\log_\beta |x||$ が小さいうちは E_1 の桁数は少ないから, E_1 は少ないビット数で正確に表せ, 一語中の大きな部分を F に割当てることができ. $|\log_\beta |x||$ が大きくなるにつれて, E_1 の桁数が増すので, それに割当てられる部分が増加し, F に割当てられる部分を次第に減少する.

E_1 だけで一語を占有するくらいに $|\log_\beta |x||$ が大きくなった後は, (2.1) の代わりた,

$$\langle \text{レベル 1} \rangle \quad x = (-1)^{a_0} F \times \beta^{(-1)^{a_1} E_1} \times \beta^{E_2} \quad (2.4)$$

という表示を採用する. このとき F は "正規化条件を満たす数" という情報しか有しない (これを表すための場所はない). E_1, E_2 は (2.1) の表示をしたときの E_1 (これを E と書く) が

$$E_1 \times \beta^{E_2} \leq E < E_1 \times (\beta^{E_2+1} - 1) \quad (2.5)$$

を満足し, かつ E_1, E_2 が一語中に収まる範囲内で E_1 の桁数がなるべく大きくするように選ぶ.

同様にして, 更に高次の "レベル" の表示に進むことができる.

すなわち (2.4) において E_2 が一語を占めなくなった後は,

$$\langle \text{レベル 2} \rangle \quad x = (-1)^{a_0} F \times \beta^{(-1)^{a_1} E_1} \times \beta^{E_2} \times \beta^{E_3} \quad (2.6)$$

という表示を採用する。ここで、 F は“正規化条件を満たす数”， E_1 は“条件

$$1 \leq E_1 < \beta^{E_2} \times \beta^{E_3} - 1 \quad (2.7)$$

を満たす数”， E_2, E_3 は(2.1)の表示をしたときの E_1 (これを E_2 記す)が

$$E_1 \times \beta^{E_2} \times \beta^{E_3} \leq E < E_1 \times \beta^{E_2} \times (\beta^{E_3} - 1) \quad (2.8)$$

を満足し、かつ E_2 と E_3 が一語中に収まる範囲内で E_2 の桁数がなるべく大きく存するように選ぶ。レベル3, 4...も同様に定める。

実際には、

(i) どのレベルで表示しているか、

(ii) F と E に割当てられている場所の境界(レベル0の場合、 F と E の境界(レベル1(2.1)の場合)はどこか、

等のための情報も同じ語中に収めねばならない。

2.2. 底の選択

浮動小数点表示の底 β については、いろいろの観点から現在では $\beta=2$ (2進法)を採用するのが最良であるとされている[1][2]。また、“正規化数の先頭ビットが1”という二つを利用してビット数の複約を企及することも見逃せない長所である。

2.3. 符号付き絶対値表示の採用

上記の§2.1, §2.2の原則の長所を發揮させるためには、(2.1)の仮数部 $\pm F$ 、指数部 $\pm E$ は、“補数表示”、“付たばき表示”等ではなく、

符号付き絶対値表示でなければならぬ。これを正規化条件(2,3)と組み合わせるとより、数の表示法として望ましい[11], 加法逆元, 乗法逆元に関する対称性も確保できる。(指数部の絶対値が最大の数では $F=1$ であることを注意。)

2.4. 丸めの方式

丸めの方式は特殊な目的(たとえば区間演算)を除けば四捨五入(2進なら0捨1入)が良いから、これを採用する。他の丸めの方式でも本質的な差異は生じない。以下では"0捨1入"を前提とする。

2.5. "非数"の役割

固定長の1語で区別できる数の個数は有限であるが、一方ではいくらでも大きい(小さい)数が現れるので、"ある数よりも大きい(小さい)数"というようなものも一つの"数"として扱わざるを得ない。これはいわゆる"±∞"のようなものである。これが不可避であるならば、これを積極的に"数"の体系に組み入れて、四則演算に関して閉じた、"あふれ"が起きてもOSの介入を必要ない体系を考えのがよい。(このおな方向への試みはKahan[8]にも見られるが、いくらかの曖昧性が残されている。)四則演算に関する対称性を要請すれば、"非数"の体系は一意に確定する(§4を参照)。

3. 新浮動小数点方式の実現法

レベルを無限にとることは不可能であり、実際的にはどこかで打ち止め

ばならない。本節ではレベル0の実現についてまず考察する。より高次のレベルについてもほぼ同じ方針で実現可能であろう。

3.1. レベル0の実現法

2進法で正規化条件(2.3)のもとで、(2.1)の形の数 $x(\neq 0)$ を表わせば、次の形のビット並べになる：

$$F = 1.f_2f_3 \cdots f_m \quad (3.1)$$

$$E = 1e_{n-1}e_{n-2} \cdots e_1 \quad (\text{あるいは } E=0) \quad (3.2)$$

そこで数 x を表わす情報としては、次の $L = m + n$ ビットが必要である：

$$a_0.f_2f_3 \cdots f_m e_{n-1}e_{n-2} \cdots e_1$$

($n=1$ のとき $E=1$; $n=0$ のときは $E=0$ で a_1 は不用)。 L が固定されていれば、 n は $0, 1, \dots, L-1$ のいずれかの値をとる。仮数部 F と指数部 E との“境界”を示す n の値のために、 $\lceil \log_2 L \rceil$ ビットがさらに必要となる。そこで、

$$L + \lceil \log_2 L \rceil \quad (3.3)$$

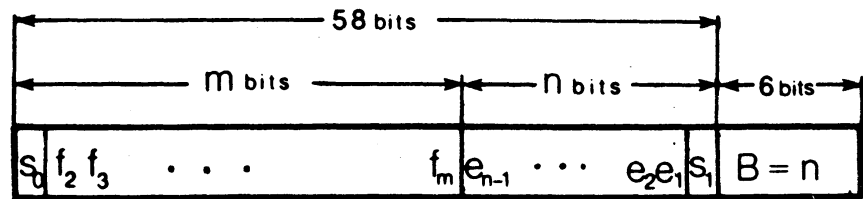
が一語長を超えないように L を選ばばよい。数 x に対して、このような表現が一意的に定まることは明らかである。(なお、理想的な“0”は本体系では“非数”として扱う。§4を参照。)

3.2. 具体的実現例

一語64ビットの場合を具体的に考える。(3.3)の条件から、 $L=58$, $\lceil \log_2 L \rceil = 6$ とし、図-1のようなデータ構造を得る。

仮数部(の絶対値)の長さは58~1ビット(明示しない先頭ビット

も含む), 指数部(符号も含む)の長さは $0 \sim 57$ ビット ($B=n \neq 0$ のとき明示していきなり先頭ビットも含む)となり, $|x|$ が約 $10^{-10^{16}}$ から $10^{10^{16}}$ までの数 x がレベル 0 で表現可能である。(表現誤差については §5 参照) B の値のうち $58 \sim 63$ は無意味と存すが, それは (i) 非数, (ii) 高次レベルの数, 等を表わすのに使用できる。



仮数部 $(-1)^{s_0} F = (-1)^{s_0} \times (1.f_2 f_3 \dots f_m)_2$, 指数部 $(-1)^{s_1} E = (-1)^{s_1} \times (1e_{n-1} \dots e_2 e_1)_2$

$B=n$ は仮数部と指数部の境界を表わす, ($B=0, 1, \dots, 57$; $B=0$ のとき $E=0$)

図-1. 新しい表現の浮動小数点数のデータ構造 (レベル 0)

このような(内部)表現を持つ(レベル 0)の出力に際しては, 桁数巾のみを指定し, その内で指数部(10進整数)の場所をまず確保し, 残りを $(X.XX\dots)$ の形で正規化された)仮数部に割り当てればよい。(具体的には §6 の例を参照。)

数の入力の場合の表現は, 従来許されている諸形式をすべて許容する=ととする。

4. 非数を含んだ数の体系

計算機で数値計算を行う際に扱う"数"は少なくとも四則演算に

関して閉じた体系をなしている(演算が“合法的でない”ような被演算数の組があってもプログラムの正常な流れがこれによて妨げられな)ことが望ましい。そもそも“一語中に表現された数”は、数直線上の一点というよりは、ある区間(区間代数におけるそれを明示するかどうかを別として)を表わすと考えべきである。§2.3で触れた四則演算に関する対称性の観点からすると、我々がまず考えるべき実数は $R^+ \cup R^-$ である。ここで

$$R^+ = \{\text{正の実数}\}, R^- = \{\text{負の実数}\}. \quad (4.1)$$

§3の表現法では $R^+ \cup R^-$ の一部分が表現可能である。考えるべき区間の“型”としては少なくとも次のもの(および \leq を $<$ にかきかえたもの)が必要である。

- (i) $\{x | a \leq x \leq b; a, b \in R^+\}, \{x | a \leq x \leq b; a, b \in R^-\};$
- (ii) $\{x | a \leq x; a \in R^+\}, \{x | x \leq a; a \in R^-\};$
- (iii) $\{x | x \leq a; a \in R^+\}, \{x | a \leq x; a \in R^-\};$
- (iv) $\{x | x \leq a \text{ or } b \leq x; a \in R^-, b \in R^+\};$
- (v) $\{x | a \leq x \leq b; a \in R^-, b \in R^+\};$
- (vi) $R^+, R^-;$
- (vii) $R (= R^+ \cup R^- \cup \{0\}).$

なぜならば、基本的な型(i)から出発して演算を繰返してゆくと上記のすべての型が生起する可能性があるからである。これを、それぞれ

- (i) $+num, -num;$

(ii) $+\infty, -\infty$;(iii) $+0, -0$;(iv) ∞ ;(v) 0 ;(vi) $+?, -?$;(vii) $?$

と略記し(図-2), 型(i)以外のものを"非数"と呼ぶ.

§3の表現方式で表現可能な数 $\pm num$ の代表点であるとみなし, これらの間の演算は, 代表点間の普通の意味での演算と考え, 演算結果は,

- a. §3の方法で表現可能な $\pm num$ (必要なら丸めを行った後) $\pm num$,
- b. 絶対値が大きすぎて表現可能な $\pm\infty$,
- c. 絶対値が小さすぎて表現可能な,

c1. 仮数部に符号の情報が残っていれば ± 0 ,

c2. 仮数部に符号の情報が残っていなければ 0 ,

であると約束する. その他の非数がどのようにして出現するかを, また型(i)~(vii)を考えれば"四則演算に関して閉じた体系が(厳密には"最小の体系")が得られることを, 表-1~表-4に示す.

数(および非数) x と y の大小関係は, 上記a, b, cおよび表-2の減算の結果の約束を用いて, $x-y$ の演算結果が $+$ (あるいは $-$)の符号を有するとき $x > y$ ($x < y$)であると約束する. $x=y$ は x と y が

同一のビットパターンで表現されているときのみに限り=とにする。こうすれば、たとえば「 $-\infty < -num < -0 < +0 < +num < +\infty$ 」, 「 $-num < 0 < +num$ 」, 「 $x < y, u < v$ なら $x+u < y+v$ 」等は成立する。しかし, 「 $x=y, u < v$ なら $x+u < y+v$ 」等が成立するとは限らない。

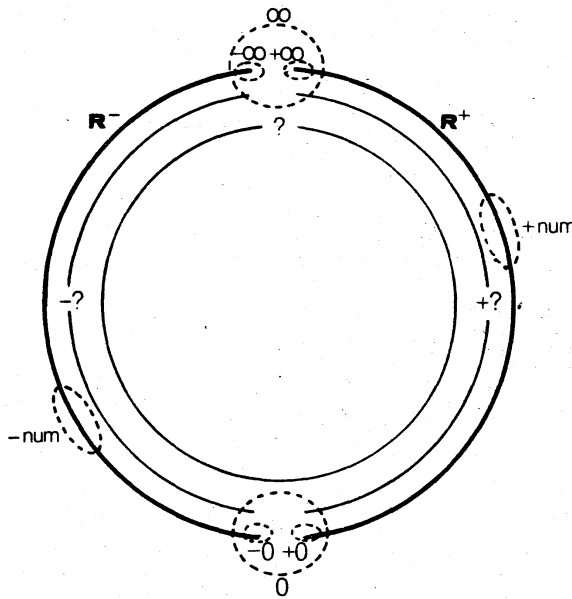


図-2. 四則演算に関して閉じた数の体系の概念図

表-1. 加算の定義

op1 \ op2	+num	-num	+∞	-∞	+0	-0	+?	-?	∞	?	0
+num	+num	±num	+∞	-∞	+num	+num	+?	?	∞	?	+num
-num	±num	-num	+∞	-∞	-num	-num	?	-?	∞	?	-num
+∞	+∞	+∞	+∞	?	+∞	+∞	+?	?	?	?	+∞
-∞	-∞	-∞	?	-∞	-∞	-∞	?	-?	?	?	-∞
+0	+num	-num	+∞	-∞	+0	0	+?	?	∞	?	0
-0	+num	-num	+∞	-∞	0	-0	?	-?	∞	?	0
+?	+?	?	+?	?	+?	?	+?	?	?	?	?
-?	?	-num	?	-?	?	-?	?	-?	?	?	?
∞	∞	∞	?	?	∞	∞	?	?	∞	?	∞
?	?	?	?	?	?	?	?	?	?	?	?
0	+num	-num	+∞	-∞	0	0	?	?	∞	?	0

表-2. 減算の定義

op1 \ op2	+num	-num	+∞	-∞	+0	-0	+?	-?	∞	?	0
+num	$\pm \text{num}$	$\pm \text{num}$	-∞	+∞	+num	+num	?	+	∞	?	+num
-num	$\pm \text{num}$	$\pm \text{num}$	-∞	+∞	-num	-num	-?	-?	∞	?	-num
+∞	+∞	+∞	?	+∞	+∞	+∞	?	+	?	?	+∞
-∞	-∞	-∞	-∞	?	-∞	-∞	-?	-?	?	?	-∞
+0	-num	+num	-∞	+∞	0	0	?	+	∞	?	0
-0	-num	+num	-∞	+∞	-0	0	-?	-?	∞	?	0
+?	?	+	?	+	?	+	?	+	?	?	?
-?	-?	-?	-?	-?	-?	-?	-?	-?	?	?	?
∞	∞	∞	?	?	∞	∞	?	?	?	?	∞
?	?	?	?	?	?	?	?	?	?	?	?
0	-num	+num	-∞	+∞	0	0	?	?	∞	?	0

表-3. 乗算の定義

op1 \ op2	+num	-num	+∞	-∞	+0	-0	+?	-?	∞	?	0
+num	$\pm \text{num}$	$\pm \text{num}$	+∞	-∞	+0	-0	+?	-?	∞	?	0
-num	$\pm \text{num}$	$\pm \text{num}$	-∞	+∞	-0	0	-?	+	∞	?	0
+∞	+∞	-∞	+∞	-∞	+	-?	+	-?	∞	?	?
-∞	-∞	+∞	-∞	+∞	-?	+	-?	+	∞	?	?
+0	+0	-0	+	-?	+0	-0	+	-?	?	?	0
-0	-0	+0	-?	+	-0	0	-?	+	?	?	0
+?	+	-?	+	-?	+	-?	+	-?	?	?	?
-?	-?	+	-?	+	-?	+	-?	+	?	?	?
∞	∞	∞	∞	∞	?	?	?	?	∞	?	?
?	?	?	?	?	?	?	?	?	?	?	?
0	0	0	?	?	0	0	?	?	?	?	0

表-4. 除算の定義

op1 \ op2	+num	-num	+∞	-∞	+0	-0	+?	-?	∞	?	0
+num	$\pm \text{num}$	$\pm \text{num}$	+0	-0	+∞	-∞	+?	-?	0	?	?
-num	$\pm \text{num}$	$\pm \text{num}$	-0	+0	-∞	+∞	-?	+	0	?	?
+∞	+∞	-∞	+	-?	+∞	-∞	+	-?	?	?	?
-∞	-∞	+∞	-?	+	-∞	+∞	-?	+	?	?	?
+0	+0	-0	+0	-0	+	-?	+	-?	0	?	?
-0	-0	+0	-0	+0	-?	+	-?	+	0	?	?
+?	+	-?	+	-?	+	-?	+	-?	?	?	?
-?	-?	+	-?	+	-?	+	-?	+	?	?	?
∞	∞	∞	?	?	∞	∞	?	?	?	?	?
?	?	?	?	?	?	?	?	?	?	?	?
0	0	0	0	0	?	?	?	?	0	?	?

5. 表現誤差

ある実数 x に対応する代表点 x^* は、仮数部の最後の桁の次の桁を丸めた数であるとされている。(我々のレベル 0 の表示も同様にする。レベル 1 以上の場合にも、仮数部および指数部に対して同様の考え方を適用できる。) このとき、"相対誤差"

$$e_{rep}(x) = \frac{|x^* - x|}{|x|} \quad (5.1)$$

を x の"表現誤差"と呼ぶ。また、

$$u(x) = \max_y \{e_{rep}(y) \mid y \text{ は } x \text{ と同じ代表点 } x^* \text{ を持つ}\} \quad (5.2)$$

を"丸めの単位"と呼ぶ。β進法で仮数部が l 桁のとき、

$$u(x) = \frac{1}{2} \beta^{1-l} \quad (5.3)$$

である。(丸めは四捨五入。) なお、非数 x については、 $e_{rep}(x)$ は定義されない(あるいは ∞ である)とするのがよいであろう。(この意味でも、0 や ± 0 は非数とみなすのが適当である。)

異なる表現方式の特長を表現誤差、丸めの単位を用いて比較すると興味深い。一語長を 64 ビットと仮定し比較対象として以下の典型的なものを挙げる。

<1> IBM 型: -16 進, 仮数部 56 ビット (丸めは"切捨こ"), 指数部 7 ビット ("バタバキ"式), 符号 1 ビット. ("倍精度"実数型.)

<2> Kahan 型: -2 進, 仮数部 52 ビット (先頭ビットを隠すので実質的には 53 ビット; 丸めは"0捨1入"), 指数部 11 ビット ("バタバキ"式), 符号 1 ビット ("倍精度数"). (正規化すると underflow するとき, 32

を導らせるための“非正規化数”も考える。) [8]

<3> Morris型:— Morrisの原論文[12]の精度を一語長が64ビットの場合に改作したもの。2進, “指数部長”を表めす部分3ビット(これが表めす数を $G(=0, 1, \dots, 7)$ とする), 残り61ビットを仮数部, 指数部に割当てず。(丸めは0捨1入)。指数部(符号付き絶対値表示)の長さは,

(i) $G+1$ (Morris (i)型)

(ii) $G+4$ (Morris (ii)型)

の2通りの解釈が提案されている。

<4> 本論文の方式:— §3.2 参照。レベル0を主として考える。

(丸めは0捨1入)。

正規化条件としては, <1>と<3>は(2.2)を, <2>と<4>とは(2.3)を用いる。

$\|\log|x|\|$ が比較的小さい範囲での $E_{rep}(x)$ を図-3に, 広い範囲にわたっての $U(x)$ を図-4に示す。

これらの図からわかるように, 本論文の方式は, “あふれ”が起る“不連続点”がなく, “普通の大きさ”の数に対してはIBM型, Kahan型より誤差が小さく, 数が極端に大きくあふれは小さく, ても連続的に誤差が増加する形で対応している。このような点からみて, 本方式は各種の表現方式を比較検討する際の一つの基準となりうるであろう。

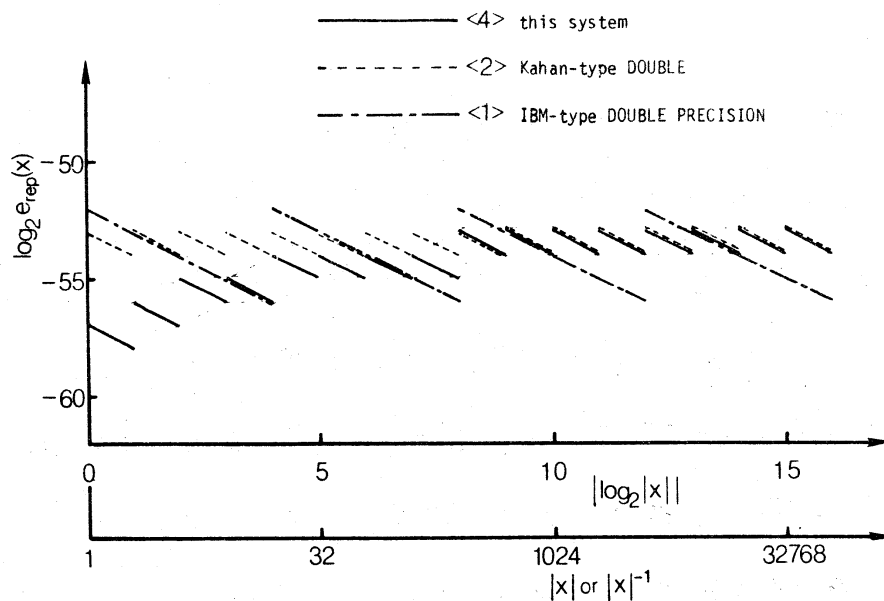


図3. 各種表現方式による表現誤差 $e_{\text{rep}}(x)$ の比較

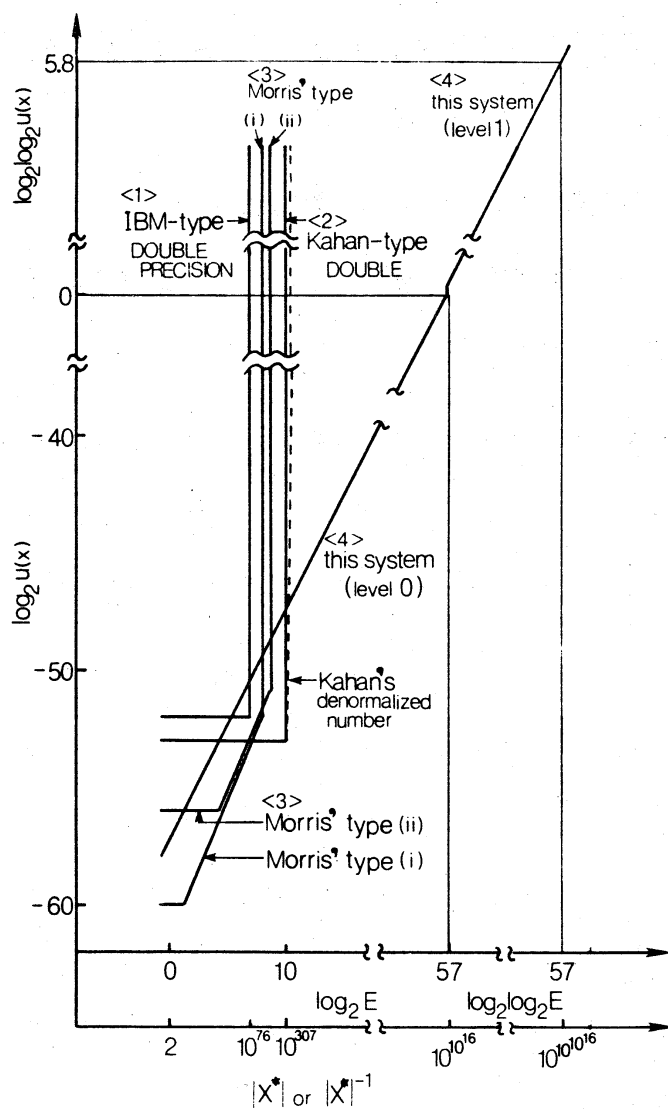


図4. 各種表現方式による数の単位 $u(x)$ の比較

6. 新体系による数値計算例

6.1. 実験プログラム

本論文で提案した方式を5.3で述べた形で実現するプログラム(サブプログラム群)を東京大学の大型計算機センターのHITAC-8800/8700システムのFORTRANおよび教育用計算機センターのMelcom-Cosmo 900のFORTRANで作成した。(現在下記のものがある)。

- 1° 四則演算用サブルーチン(計約300行),
- 2° 入出力用関数副プログラム(計約200行),
- 3° 型変換(FORTRANのデータと本体系の間の変換を用う)用関数副プログラム(計約200行),
- 4° 平方根用関数副プログラム(計約60行),
- 5° 補助サブルーチン群(比較, 丸め, 仮数部と指数部の分離と結合等の処理)(計約300行)。

なお現在の版では非数は"0"のみが特殊なビットパターンとして含まれている。

プログラムは実験用であり, 速度向上の為の技巧を凝らしてはいないので, 速度は遅いが(通常の倍精度実数型演算と比較して約600~1000倍程度の時間を要する(HITACでの比較)), この点は大幅に改良の余地がある。特に演算回路を金物化した場合には, IBM型やKahan型の1割増し程度の時間で実現できる見込みがある。

6.2. 数値計算例

極端な大きな数, 小さな数が出現する典型的な数値計算の例として代数方程式の Graeffe 法 [13] に于き解を考えた。簡単のため, 正の零点のみの多項式方程式

$$\begin{aligned} P_1(x) &= x^8 - 11x^7 + 45.35x^6 - 88.55x^5 + 86.752x^4 - 43.274x^3 \\ &\quad + 10.981x^2 - 1.32x + 0.0576 \\ &= (x-0.1)(x-0.2)(x-0.3)(x-0.4)(x-1)(x-2)(x-3)(x-4) \quad (6.1) \end{aligned}$$

および

$$\begin{aligned} P_2(x) &= x^4 - 10.43857593020613x^3 + 40.58740567587410x^2 \\ &\quad - 67.60408570545396x + 44.36715614906059 \\ &= (x-2)(x-e)(x-\sqrt{7.4})(x-3) \quad (6.2) \\ &\quad (e = 2.718281828 \dots, \sqrt{7.4} = 2.7202941017 \dots) \end{aligned}$$

を考えると,

$$P(x) = x^n - a_{n-1}x^{n-1} + \dots + (-1)^{n-1}a_1x + (-1)^na_0 \text{ の零点を } d_i \ (i=1, \dots, n)$$

とすると, $d_i^{2^v} \ (i=1, \dots, n)$ を零点とする多項式

$$P^{(v)}(x) = x^n - a_{n-1}^{(v)}x^{n-1} + \dots + (-1)^na_0^{(v)} \quad (6.3)$$

は簡単な漸化式

$$a_k^{(0)} = a_k, \quad a_k^{(v+1)} = \sum_{i+j=2k} (-1)^i a_i^{(v)} a_j^{(v)}, \quad (v=0, 1, \dots) \quad (6.4)$$

で計算され, d_i の近似値は

$$d_i \approx (a_{i-1}^{(v)} / a_i^{(v)})^{1/2^v} \quad (6.5)$$

で計算できる。

$P_1(x)$ に対する反復計算の結果を図-5に、 $P_2(x)$ に対するものを図-6に示す、またそれらをまとめたものを図-7に示す、

図-5においては $n=7$ くらいですべての零点が十分な精度で得られている、(その後無駄な反復を行っても精度が悪化しないことに注目すべきである。) IBM型のものでは $n=6$ くらいで破綻をきたす、

図-6においては、近接零点があるため、必要な反復回数が増加し、また最終的に得られる零点の近似値の精度もいくらか劣る、しかし、本方式では $n=16$ くらいで、10進10桁の精度で零点が得られている、IBM型のものでは、 $n=6$ くらいで破綻をきたし(そのときの近接零点の精度は最悪のものでは僅か2桁)、Kahan型のものでは $n=7$ までしかもたない(そのときの近接零点の精度は、最悪のものでは2桁)。

7. 今後の課題

本論文では、新しい浮動小数点方式の基本的な着想を提案し、その特長を従来の諸方式と比較考察し、それを実現する試作プログラムにより数値計算例をあげた、しかしこの方式については更に検討すべき課題が数多く残されているので、それらについて逐次検討結果を発表してゆきたい。主なものは次の通りである。

- (i) 演算の金物化：一本来この種の方式は演算を金物化する
ことにより始めてその特長が発揮できる。そのための演算回路の
設計試作を行うこと。理論的には従来方式とほぼ同程度の速度が得

Kahan 型の限界

$\nu = 1$			$\nu = 7$		
3.3177600000000000	FE-3	=A(1)	2.1581313729824	FE-159	=A(1)
- 4.7704320000000000	FE-1	=A(2)	- 2.15813137298248	FE-31	=A(2)
1.639877247999999	FE 1	=A(3)	6.34217809318084	EE 58	=A(3)
- 1.9541003280000000	FE 2	=A(4)	- 5.3792017006758	EE 125	=A(4)
8.294775057599999	FE 2	=A(5)	4.6455692578868	FE 176	=A(5)
- 9.0271982000000001	FE 2	=A(6)	- 4.6455692578870	FE 176	=A(6)
2.820272999999999	FE 2	=A(7)	1.3652101047498	FE 138	=A(7)
- 3.0300000000000000	FE 1	=A(8)	- 1.15792089237327	FE 77	=A(8)
8.339569428721113	EE-2	=ROOT(1)	9.999999999999997	EE-2	=ROOT(1)
1.705584280072372	EE-1	=ROOT(2)	2.000000000000006	FE-1	=ROOT(2)
2.896891579541276	EE-1	=ROOT(3)	2.999999999999984	FE-1	=ROOT(3)
4.853679799876546	EE-1	=ROOT(4)	4.0000000000000013	FE-1	=ROOT(4)
9.585743805733726	EE-1	=ROOT(5)	9.999999999999996	FE-1	=ROOT(5)
1.7890847510520749	EE0	=ROOT(6)	2.0000000000000022	EE0	=ROOT(6)
3.0508739212180358	EE0	=ROOT(7)	2.9999999999999951	EE0	=ROOT(7)
5.5045435778091540	EE0	=ROOT(8)	4.0000000000000027	EE0	=ROOT(8)
$\nu = 5$			$\nu = 8$		
2.15535826671273	EE-40	=A(1)	4.6575310230509	EE-318	=A(1)
- 2.155358267214587	EE-8	=A(2)	- 4.65753102305125	EE-62	=A(2)
5.01834615819841	EE 14	=A(3)	4.0223222965623	EE 117	=A(3)
- 2.70844408510473	EE 31	=A(4)	- 2.8935810936553	EE 251	=A(4)
1.46811384664593	EE 44	=A(5)	2.1581313729823	EE 353	=A(5)
- 1.46811384698750	EE 44	=A(6)	- 2.1581313729825	EE 353	=A(6)
3.41822684232871	EE 34	=A(7)	1.8637986301109	EE 276	=A(7)
- 1.84485970981938	EE 19	=A(8)	- 1.3407807929945	EE 154	=A(8)
9.99999999927237	FE-2	=ROOT(1)	9.999999999999997	FE-2	=ROOT(1)
1.999999855136427	FE-1	=ROOT(2)	2.000000000000006	FE-1	=ROOT(2)
2.999990800367525	FE-1	=ROOT(3)	2.999999999999984	FE-1	=ROOT(3)
4.000012555971386	FE-1	=ROOT(4)	4.0000000000000013	FE-1	=ROOT(4)
9.99999999927293	FE-1	=ROOT(5)	9.999999999999996	FE-1	=ROOT(5)
1.9999998551364240	EE0	=ROOT(6)	2.0000000000000022	EE0	=ROOT(6)
2.9999908003675362	EE0	=ROOT(7)	2.9999999999999951	EE0	=ROOT(7)
4.0000125559713905	EE0	=ROOT(8)	4.0000000000000027	EE0	=ROOT(8)
$\nu = 6$			$\nu = 30$		
4.64556925788690	EE-80	=A(1)	2.298526	EE-1330986224	=A(1)
- 4.64556925788700	EE-16	=A(2)	- 2.2985271	EE-257244400	=A(2)
2.51836814092956	EE 29	=A(3)	5.4763732	EE 493268927	=A(3)
- 7.33430419960579	EE 62	=A(4)	- 2.670771	EE 1054705705	=A(4)
2.15535826671271	EE 88	=A(5)	1.516089	EE 1481990536	=A(5)
- 2.15535826671276	EE 88	=A(6)	- 1.516090	EE 1481990536	=A(6)
1.16842205763348	EE 69	=A(7)	3.612177	EE 1158762039	=A(7)
- 3.40282370354638	EE 38	=A(8)	- 1.7616144	EE 646456993	=A(8)
9.999999999999997	FE-2	=ROOT(1)	9.999999999999997	FE-2	=ROOT(1)
1.9999999999999838	FE-1	=ROOT(2)	2.000000000000006	FE-1	=ROOT(2)
2.999999999527234	FE-1	=ROOT(3)	2.999999999999984	FE-1	=ROOT(3)
4.000000000630681	FE-1	=ROOT(4)	4.0000000000000013	FE-1	=ROOT(4)
9.999999999999996	FE-1	=ROOT(5)	9.999999999999996	FE-1	=ROOT(5)
1.99999999999998341	EE0	=ROOT(6)	2.0000000000000024	EE0	=ROOT(6)
2.9999999995272459	EE0	=ROOT(7)	2.9999999999999953	EE0	=ROOT(7)
4.0000000006306709	EE0	=ROOT(8)	4.0000000000000027	EE0	=ROOT(8)

図-5. $P(x)$ の零点を求めた Graeffe 反復

Kahan 型の限界

$$N = 1$$

1.068444544755123	FE 3	=A(1)
- 1.243233216278632	FE 3	=A(2)
2.829367444191949	FE 2	=A(3)
- 2.778905602803071	FE 1	=A(4)
1.2583031670238898	EE0	=ROOT(1)
2.0961947379335457	EE0	=ROOT(2)
3.1908602092232556	EE0	=ROOT(3)
5.2715326138544105	EE0	=ROOT(4)

$$N = 7$$

6.6662837510202	FE 210	=A(1)
- 1.9590447225817	FE 172	=A(2)
9.6227697791204	FE 116	=A(3)
- 1.17902661948570	FE 61	=A(4)
1.9999999999999513	EE0	=ROOT(1)
2.7045783330773281	EE0	=ROOT(2)
2.7340770775614731	EE0	=ROOT(3)
3.0000001622446730	EE0	=ROOT(4)

$$N = 5$$

5.08125451549211	FE 52	=A(1)
- 1.18320169534957	FE 43	=A(2)
3.02539330106157	FE 29	=A(3)
- 2.01284256209763	FE 15	=A(4)
1.9999931360575824	EE0	=ROOT(1)
2.6592468559773725	EE0	=ROOT(2)
2.7735140870227926	EE0	=ROOT(3)
3.0077660744101009	EE0	=ROOT(4)

$$N = 16$$

6.7375701284	FE 107941	=A(1)
- 3.36284975660	FE 88213	=A(2)
4.01365489311	FE 59751	=A(3)
- 4.15479228694	FE 31268	=A(4)
1.9999999999999518	EE0	=ROOT(1)
2.7182818285051764	EE0	=ROOT(2)
2.7202941016100686	EE0	=ROOT(3)
3.00000000000009399	EE0	=ROOT(4)

$$N = 6$$

2.5819147451107	FE 105	=A(1)
- 1.39965879601065	FE 86	=A(2)
4.38981732472593	FE 58	=A(3)
- 2.44645651957942	FE 30	=A(4)
1.99999999998191536	EE0	=ROOT(1)
2.6809448172248597	EE0	=ROOT(2)
2.7487913512242691	EE0	=ROOT(3)
3.0001740482911321	EE0	=ROOT(4)

$$N = 30$$

1.577772	FE 1768518918	=A(1)
- 3.759240	FE 1445290421	=A(2)
2.5108124	FE 978970272	=A(3)
- 2.0511859	FE 512305046	=A(4)
1.9999999999999518	EE0	=ROOT(1)
2.7182818285051764	EE0	=ROOT(2)
2.7202941016100686	EE0	=ROOT(3)
3.00000000000009399	EE0	=ROOT(4)

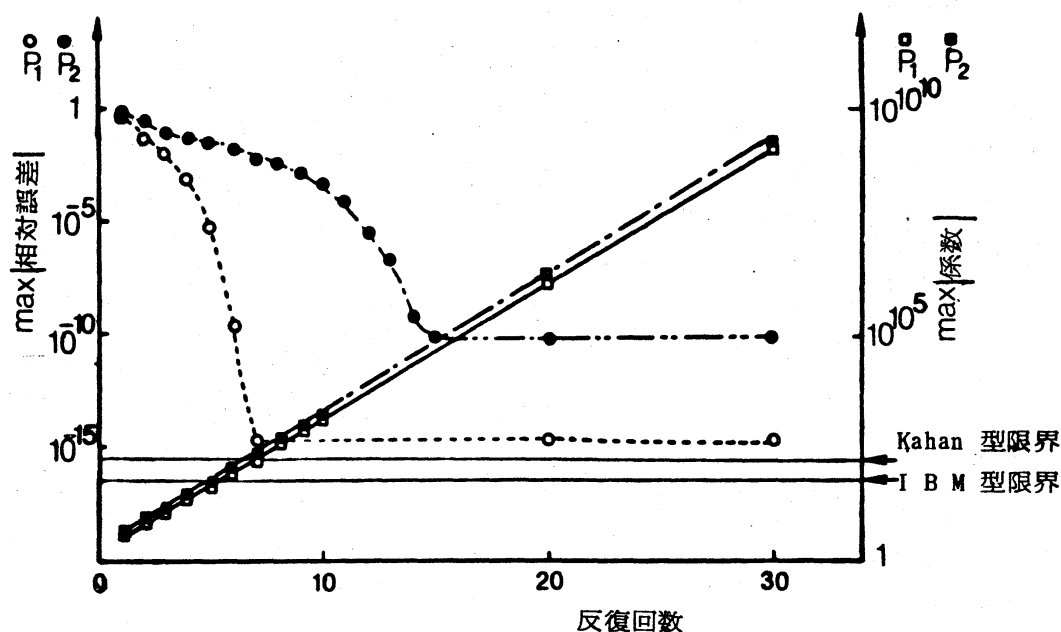
図-6. $P_2(x)$ の零点を求めた Graeffe 反復

図-7. Graeffe 法による反復過程

される見込みがある。

(ii) 新表現方式に適したため誤差理論の確立：一本論文では数の表現に直接関連した誤差のみを論じたが、「表現誤差がほぼ一定」という従来の誤差理論[13]の仮定の成立しない本方式における、四則その他の演算に伴う誤差の拡大、累積に関する理論を確立すること。従来の理論が“非数”の場合を含めてどのように変更されるかを調べることは重要であろう。

(iii) 高次レベル、非数の実際的な取扱い：非数レベル1以上の入出力をどうするが、どのようにして実現するが、またどのくらいのレベルまで示さるべきか、等々について、理論・実際面の検討の余地がある。

8. おわりに

本研究に関しては、非公式研究会などにおいて、電気通信大学教授森口繁一先生、慶応大学教授相磯秀夫先生ほか多くの方々から貴重な御助言を賜り、また研究室の方々からも有用な討論を頂いた、それらにより内容の多くの部分を改良することができた、ここに記して、感謝の意を表わす次第である。

なお、本研究は文部省科学研究費の援助により部分を含んでいる。

2. 参考文献

- [1] Brent, R. P., On the Precision Attainable with Various Floating-Point Number System. IEEE Trans. on Computers, Vol. C-22, No. 6, pp. 601-607(1973).
- [2] Cody, W. J., Jr., Static and Dynamic Numerical Characteristics of Floating-Point Arithmetic. IEEE Trans. on Computers, Vol. C-22, NO. 6, pp. 598-601(1973).
- [3] Edger, A. D., and Lee, S. C., FOCUS:Microcomputer Number System. Comm. ACM, Vol. 22, No. 3, pp. 166-177(1979).
- [4] Hamming, R. W., On the Distribution of Numbers. The Bell System Technical Journal, Vol. 40, No. 8, pp. 1609-1625(1970).
- [5] Hehner, E. C. R., and Horspool, R. N. S., A New Representation of the Rational Arithmetic. SIAM J. on Comput., Vol. 8, No. 2, pp. 124-134(1979).
- [6] 一松信, 新標準浮動小数点体系の提案. 情報処理, Vol. 20, No. 9, pp. 793-797(1979).
- [7] Ida, T., and Goto, E., Overflow Free and Variable Precision Computing in FLATS. Journal of Information Processing, Vol. 1, No. 3, pp. 140-142(1978).
- [8] Kahan, W., and Palmer, J., On a Proposed Floating-Point Standard, ACM SIGNUM Newsletter, Special Issue, pp. 13-21(Oct. 1979).
- [9] Knuth, D. E., The Art of Computer Programming, Vol. 2:Seminumerical Algorithms. Addison-Wesley, Reading, Massachusetts(1969).
- [10] Morris, R., Tapered Floating Point: A New Floating Point Representation. IEEE Trans. on Computers, Vol. C-20, No. 6, pp. 1678-1679(1973).
- [11] Reinsh, C. H., Principle and Preference for Computer Arithmetic. ACM SIGNUM Newsletter, Vol. 14, No. 1, pp. 12-27(1979).
- [12] Swartzlander, E. E., Jr., and Alexopoulos, A. G., The Sign/Logarithm Number System. IEEE Trans. on Computers, Vol. C-24, No. 12, pp. 1238-1242(1975).
- [13] Wilkinson, J. H., Rounding Errors in Algebraic Processes. Prentice-Hall, Englewood-Cliffs (1963).